



ИНСТИТУТ ТЕОРЕТИЧЕСКОЙ И  
ЭКСПЕРИМЕНТАЛЬНОЙ ФИЗИКИ

ИТЭФ- 71

Е.П.ШАБАЛИН

*SV 79 0 3 25*

ОБ ОСОБЕННОСТЯХ РЕГУЛЯРИЗАЦИИ  
НЕДИАГОНАЛЬНЫХ АМПЛИТУД  
В УНИТАРНОЙ КАЛИБРОВКЕ

*АМ 4-1*

МОСКВА 1978

Э.П.Неселане

ОБ ОСОБЕННОСТЯХ РЕГУЛЯРИЗАЦИИ НЕДИАГОНАЛЬНЫХ  
АМПИТУД В УНИТАРНОЙ КАЛИБРОВКЕ

Москва

1978

На примере  $SU(2) \otimes U(1)$ -калибровочной теории определена процедура регуляризации различных недиагональных амплитуд в унитарной калибровке, которой обычно избегают пользоваться, опасаясь неоднозначностей, хотя такая калибровка имеет преимущество в резком сокращении числа диаграмм заданного порядка.

Получены выражения для регуляризованных собственно-энергетических и вершинных операторов и дано объяснение, в каком смысле следует понимать регуляризацию вершинных функций.

В заключение на примерах продемонстрирована корректность вычислений в унитарной калибровке с помощью развитого формализма.

On example of the  $SU(2) \times U(1)$ -gauge theory the regularisation procedure for different nondiagonal amplitudes is defined in a special unitary gauge. This gauge is not usually used due to fear of uncertainties, though it has some advantages due to a sharp decrease of the number of diagrammes of the fixed order.

A formulae for the regularized selfenergy and vertex operators are obtained and an explanation is given for the meaning of regularized vertex functions in unitary gauge.

At the end a correctness of calculations with the help of the developed formalism is demonstrated on two examples.

Настоящая работа имеет учебно-методический характер и преследует следующую цель:

- 1) на основе последовательного рассмотрения продемонстрировать пригодность унитарной калибровки для вычисления недиагональных переходов и
- 2) пояснить смысл, в котором следует понимать процедуру регуляризации вершинных операторов при работе в унитарной калибровке.

Публикация данной работы в период, когда методы работы с перенормируемой калибровочной теорией считаются давно установленными, вызвана двумя причинами. Во-первых, как обнаружил автор, среди физиков довольно распространенным является мнение, что "в унитарной калибровке ничего нельзя вычислить". По отношению к недиагональным амплитудам это неверно и, как всякое заблуждение, заслуживает опровержения. Но кроме того, - и это является второй причиной, - существует класс задач, в которых использование унитарной калибровки намного упрощает решение. К таким задачам относится определение некоторых общих свойств амплитуд высших порядков с внутренними недиагональными переходами. Примером может служить задача вычисления электрического дипольного момента кварка в калибровочной  $CP$ -инвариантной теории [1]. Преимущество унитарной калибровки определяется в этом случае значительным сокращением количества диаграмм, поскольку в унитарной калибровке отсутствуют диаграммы с "духовыми" частицами, а также более простой спиральной структурой диаграмм.

В данной статье все рассмотрение будет ограничено  $SU(2) \times U(1)$  - калибровочной теорией. Однако используемые приемы регуляризации в одинаковой мере пригодны для любой калибровочно-инвариантной теории.

Последовательность изложения такова: в разделе I будут сформулированы необходимые для вычислений правила Фейнмана для теории Вайнберга-Салама [2,3], дополненной четырехкварковой схемой ГИМ [4] с дробно-заряженными кварками. В разделах 2-5 будут указаны рецепты нахождения регуляризованных собственно-энергетических и вершинных недиагональных операторов. В разделах 6 и 7 на примерах будет проверена законность и однозначность найденных приемов вычисления в унитарной калибровке.

## I. Правила Фейнмана в $SU(2) \times U(1)$ -калибровочной теории

Рассмотрим модель Вайнберга-Салама, распространенную на адроны в соответствии с четырехкварковой моделью ГИМ. В историческом пространстве слабых взаимодействий каждое состояние характеризуется изоспином и гиперзарядом. Левоспиральные фермионы объединяются в дублеты

$$L_P = \begin{pmatrix} P \\ n_c \end{pmatrix}_L, \quad L_c = \begin{pmatrix} c \\ \lambda_c \end{pmatrix}_L, \quad L_e = \begin{pmatrix} \nu_e \\ e^- \end{pmatrix}_L, \quad L = \begin{pmatrix} \nu_\mu \\ \mu^- \end{pmatrix}_L$$

$$n_c = n \cos \theta + \lambda \sin \theta, \quad \lambda_c = -n \sin \theta + \lambda \cos \theta \quad (1)$$

а правоспиральные фермионы считаются синглетами:

$$R_P = P_R, \quad R_n = n_R, \quad R_c = c_R, \quad R_e = e_R^-, \quad R_\mu = \mu_R^- \quad (2)$$

Гиперзаряд определяется как удвоенный средний электрический заряд мультиплета, так что

$$Y(\bar{e}_L) = Y(\nu_e) = -1, \quad \text{а} \quad Y(\bar{e}_R) = -2.$$

Для кварков с дробными зарядами

$$Y(p_L) = Y(n_L) = \frac{1}{3}, \quad Y(p_R) = \frac{4}{3}, \quad Y(n_R) = -\frac{2}{3};$$

Индексы  $L$  и  $R$  понимаются в смысле

$$\psi_L = \frac{1+\gamma_5}{2} \psi, \quad \psi_R = \frac{1-\gamma_5}{2} \psi.$$

Исходный лагранжиан взаимодействия имеет вид

$$\begin{aligned} \mathcal{L} = & -\frac{1}{4} \vec{b}_{\mu\nu} \vec{b}_{\mu\nu} - \frac{1}{4} a_{\mu\nu} a_{\mu\nu} + (\mathcal{D}_\mu \varphi)^\dagger (\mathcal{D}_\mu \varphi) + m^2 \varphi^\dagger \varphi - \\ & - \frac{f^2}{4} (\varphi^\dagger \varphi)^2 + \bar{R}_\kappa i \gamma_\mu (\partial_\mu + ig' Y(R_\kappa) a_\mu) R_\kappa + \\ & + \bar{L}_\kappa i \gamma_\mu (\partial_\mu - ig \vec{\tau} \vec{b}_\mu + ig' Y(L_\kappa) a_\mu) L_\kappa - \\ & - h_e (\bar{L}_e \varphi R_e + \text{э.с.}) - h_\mu (\bar{L}_\mu \varphi R_\mu + \text{э.с.}) - \\ & - h_n [(\bar{L}_p \cos \theta - \bar{L}_c \sin \theta) \varphi R_n + \text{э.с.}] - \\ & - h_\lambda [(\bar{L}_p \sin \theta + \bar{L}_c \cos \theta) \varphi R_\lambda + \text{э.с.}] - \\ & - h_\rho (\bar{L}_p \tilde{C} \varphi R_\rho + \text{э.с.}) - h_c (\bar{L}_c \tilde{C} \varphi R_c + \text{э.с.}). \end{aligned} \quad (8)$$

где  $\varphi$  - дублет скалярных полей

$$\varphi = \begin{pmatrix} \varphi^+ \\ \varphi^0 \end{pmatrix},$$

так что  $Y(\varphi) = I$  и  $\mathcal{D}_\mu \varphi = (\partial_\mu - ig \vec{\tau} \vec{b}_\mu + ig' a_\mu)$ .

$$\tilde{C} \varphi = i\tau_2 C \varphi = i\tau_2 \varphi^* = \begin{pmatrix} \varphi^{0*} \\ -\varphi^- \end{pmatrix}.$$

Индекс  $\kappa$  пробегает значения  $\kappa = p, c, e, \mu$ .

Кроме того,

$$\vec{b}_{\mu\nu} = \partial_\mu \vec{b}_\nu - \partial_\nu \vec{b}_\mu + 2g [\vec{b}_\mu \times \vec{b}_\nu]$$

$$a_{\mu\nu} = \partial_\mu a_\nu - \partial_\nu a_\mu.$$

Спонтанное нарушение симметрии проявляется в отличии от нуля среднего вакуумного значения поля  $\varphi^0$ :

$$\langle \varphi^0 \rangle_0 = \frac{m}{\sqrt{2}f},$$

и это приводит к тому, что из-за взаимодействия с полями  $\varphi$  векторные бозоны и фермионы приобретают массу.

Если представить дублет полей  $\varphi$  в виде

$$\varphi = \frac{1}{\sqrt{2}} \left( \frac{m}{f} + \sigma + i \vec{\tau} \vec{\varphi} \right) \begin{pmatrix} 0 \\ 1 \end{pmatrix}$$

и положить  $\vec{\varphi}(x) = 0$ , то лагранжиан бозонных полей превращается в обычный лагранжиан векторных массивных и безмассовых полей плюс лагранжиан нейтрального скалярного поля  $\sigma$  плюс лагранжиан взаимодействия полей  $b_\mu^+$ ,  $b_\mu^-$ ,  $b_\mu^{(3)}$ ,  $a_\mu$  и  $\sigma$ . Поэтому условие  $\vec{\varphi}(x) = 0$  эквивалентно фиксации так называемой унитарной калибровки, в которой остаются только физические бозонные поля

$$\begin{aligned} W_\mu^\pm &= \frac{1}{\sqrt{2}} (b_\mu^{(1)} \mp i b_\mu^{(2)}) & , \quad m_W \equiv M = \frac{g m}{f} \\ Z_\mu &= \frac{g b_\mu^{(3)} + g' a_\mu}{\sqrt{g^2 + g'^2}} & , \quad m_Z = \frac{\sqrt{g^2 + g'^2}}{f} m \\ A_\mu &= \frac{-g' b_\mu^{(3)} + g a_\mu}{\sqrt{g^2 + g'^2}} & , \quad m_A = 0 \\ \sigma & & , \quad m_\sigma = \sqrt{2} m. \end{aligned} \quad (4)$$

Связь констант  $g$ ,  $g'$ ,  $f$  и  $m$  с константами слабого и электромагнитного взаимодействия определяется условиями:

$$\begin{aligned} \frac{G_F}{\sqrt{2}} &= \frac{g^2}{2M^2} = \frac{f^2}{2m^2} & , \quad e = \frac{2gg'}{\sqrt{g^2 + g'^2}} \\ h_i &= \frac{\sqrt{2} g m_i}{M} = m_i \sqrt{2} \sqrt{2} G & (i = e, \mu, \tau, c, n, \lambda) \end{aligned} \quad (5)$$

Ниже дана сводка правил Фейнмана в калибровке  $\bar{\psi}(x) = 0$ .

$$1) \begin{array}{c} \text{P} \\ \diagdown \\ \text{---} \\ \diagup \\ \text{n}_c \end{array} \text{---} W^+ : \quad \frac{g}{\sqrt{2}} \bar{P} \gamma_\mu (1 + \gamma_5) n_c W_\mu^+$$

Вершина  $\bar{c} n_c W^+$  имеет аналогичную структуру.

$$2) \begin{array}{c} \nu_e \\ \diagdown \\ \text{---} \\ \diagup \\ e \end{array} \text{---} W^+ : \quad \frac{g}{\sqrt{2}} \bar{\nu}_e \gamma_\mu (1 + \gamma_5) e W_\mu^+$$

Вершина  $\bar{\nu}_e n_e W^+$  имеет аналогичную структуру.

Взаимодействию нейтральных векторных полей  $A_\mu$  и  $Z_\mu$  с фермионами  $i$ -го сорта отвечают следующие вершины

$$3) \begin{array}{c} F_i \\ \diagdown \\ \text{---} \\ \diagup \\ F_i \end{array} \text{---} A : \quad \frac{\sqrt{g^2 + g'^2}}{2} \bar{F}_i \gamma_\mu \left( a_i^X \frac{1 + \gamma_5}{2} + b_i^X \frac{1 - \gamma_5}{2} \right) F_i A_\mu$$

$$4) \begin{array}{c} F_i \\ \diagdown \\ \text{---} \\ \diagup \\ F_i \end{array} \text{---} Z : \quad \frac{\sqrt{g^2 + g'^2}}{2} \bar{F}_i \gamma_\mu \left( a_i^Z \frac{1 + \gamma_5}{2} + b_i^Z \frac{1 - \gamma_5}{2} \right) F_i Z_\mu$$

где коэффициенты  $a_i^{X,Z}$  и  $b_i^{X,Z}$  имеют вид

$$a_p^X = a_c^X = b_p^X = b_c^X = -\frac{8gg'}{3(g^2 + g'^2)} ;$$

$$a_n^X = a_\lambda^X = b_n^X = b_\lambda^X = \frac{4gg'}{3(g^2 + g'^2)} ;$$

$$a_e^X = a_\mu^X = b_e^X = b_\mu^X = \frac{4gg'}{(g^2 + g'^2)} ;$$

$$a_p^Z = a_c^Z = \frac{8g^2 - 2(g^2 + g'^2)}{3(g^2 + g'^2)} ; \quad b_p^Z = b_c^Z = \frac{8g^2 - 8(g^2 + g'^2)}{3(g^2 + g'^2)} ;$$

$$a_n^Z = a_\lambda^Z = \frac{-4g^2 - 2(g^2 + g'^2)}{3(g^2 + g'^2)} ; \quad b_n^Z = b_\lambda^Z = \frac{-4g^2 + 4(g^2 + g'^2)}{3(g^2 + g'^2)} ;$$

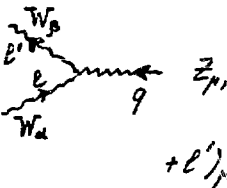


$$a_e^z = a_\mu^z = \frac{2(g'^2 g^2)}{g^2 + g'^2}; \quad b_e^z = b_\mu^z = \frac{4g'^2}{g^2 + g'^2};$$


$$a_\nu^z = 2; \quad b_\nu^z = 0; \quad (6)$$

5)  :  $-\frac{g m_f}{M} \bar{P} P \sigma$

То же для взаимодействия с любым кварком или лептоном, с заменой  $m_f$  на массу соответствующего фермиона.

6)  :  $\frac{2g}{\sqrt{g^2 + g'^2}} (g Z_\mu - g' A_\mu) \cdot [\delta_{\alpha\beta} (\ell + \ell')_\mu - (\ell - g)_\beta \delta_{\alpha\mu} - (\ell' + g)_\alpha \delta_{\beta\mu}] W_\beta^+ W_\alpha^-$

7)  :  $2g M W_\alpha^+ W_\alpha^- \sigma$

8)  :  $(g + \frac{g'^2}{g}) M Z_\alpha^+ Z_\alpha^- \sigma$

Лагранжиан (3) дает также четверные вершины, но в дальнейшем рассмотрении они не понадобятся, и мы их здесь не приводим.

Пропагаторы векторных массивных частиц имеют вид

$$\frac{-i}{p^2 - M^2 + i\epsilon} \left( \delta_{\alpha\beta} - \frac{p_\alpha p_\beta}{M^2} \right).$$

Пропагатор фотона

$$\frac{-i}{p^2 + i\epsilon} \delta_{\alpha\beta}.$$

Пропагатор скалярного поля

$$\frac{i}{p^2 - m_g^2 + i\epsilon}$$

Пропагаторы фермионов

$$\frac{i}{\hat{p} - m_f}$$

В других калибровках появляются дополнительные вершины с заряженным хиггсовым полем  $\varphi^\pm$ , но при этом приведенные выше вершины не изменяются.

## 2. Регуляризация собственнo-энергетического недиагонального оператора.

Рассмотрим оператор перехода  $\lambda \rightarrow n$ , определяемый диаграммой рис. 1. В соответствии с правилами Фейнмана, эта диаграмма дает

$$A^{(1)}(p) \equiv \sum \bar{n}^\lambda = - \frac{g^2 \sin\theta \cos\theta}{16\pi^4} \int \gamma_B(\hat{p}-\hat{\ell}) \gamma_A \frac{\delta_{\alpha\beta} - \frac{\ell_\alpha \ell_\beta}{M^2}}{p^2 - M^2} \cdot \left( \frac{1}{(p-\ell)^2 - m_p^2} - \frac{1}{(p-\ell)^2 - m_c^2} \right) d^4 \ell. \quad (7)$$

Вычитательная процедура, понижающая степень расходимости петлевых диаграмм в случае недиагональных переходов определена лагранжианом однозначно и ее, как показывает проверка, можно осуществить до вычисления интеграла <sup>x)</sup>:

---

<sup>x)</sup> Здесь и во всех дальнейших вычислениях будет оставаться только первый член разложения по  $(m_p^2 - m_c^2)$  и будут отбрасываться слагаемые, имеющие малость  $\sim m^2/M^2$ .

$$\Sigma^{\bar{n}\lambda}(p) = - \frac{g^2 \sin \theta \cos \theta (m_p^2 - m_c^2)}{16 \pi^4} (1 + \gamma_5) \cdot \int \frac{2(\hat{e} - \hat{p}) + \hat{e}(\hat{e} - \hat{p})\hat{e}/M^2}{(\ell^2 - M^2) [(p - \ell)^2 - m^2]^2} d^4 \ell \quad (8)$$

где  $m^2 = (m_p^2 + m_c^2)/2$ .

С помощью замены

$$(\ell^2 - M^2)^{-1} (\ell^2 - 2p\ell + p^2 - m^2)^{-2} = \int_0^1 \frac{2x dx}{[(\ell - px)^2 - \Delta]^3},$$

где  $\Delta = M^2(1-x) + m^2x - p^2x(1-x)$

и перехода к переменной  $Q = \ell - px$  интересующий нас интеграл

$$\text{приводится к виду } \int_0^1 2x dx \int \frac{d^4 Q}{(Q^2 - \Delta)^3} \left\{ -2\hat{p}(1-x) - \frac{p^2 \hat{p} x^2 (1-x)}{M^2} + \frac{Q^2}{M^2} \hat{p} \left( 2x + \frac{1-x}{2} \right) \right\}.$$

Используя формулы интегрирования по методу размерной регуляризации, приведенные в приложении I, получим

$$\Sigma^{\bar{n}\lambda}(p) = c \hat{p}(1 + \gamma_5) f(p^2) \quad (9)$$

где

$$c = -i g^2 \sin \theta \cos \theta (m_p^2 - m_c^2) / 16 \pi^2$$

$$f(p^2) = \int_0^1 dx \left[ \frac{2x(1-x)}{\Delta} + \frac{p^2 x^3 (1-x)}{M^2 \Delta} + \frac{(x+3x^2) \Gamma(2-\frac{2}{\epsilon})}{M^2 \Delta^{2-\frac{2}{\epsilon}}} \right] \quad (10)$$

В пределе  $n \rightarrow 4$  функция  $f(p^2)$  содержит расходящуюся часть, пропорциональную  $\Gamma(\epsilon)$ , и необходима регуляризация оператора  $\Sigma^{\bar{n}\lambda}(p)$ . Учитывая, что при вычислении  $\Sigma^{\bar{n}\lambda}$  интегрировалось произведение сингулярных функций, можно, как обычно, считать, что вычисленное по формулам (9-10) значение  $\Sigma^{\bar{n}\lambda}$  определено лишь с

с точностью до полиномиальных по  $p$  членов, которым отвечают некоторые локальные и квазилокальные контрчлены к исходному лагранжиану. Вид этих контрчленов может быть найден из следующих требований:

- 1) контрчлены должны быть скалярами в изотопическом пространстве слабых взаимодействий,
- 2) функция Грина перехода  $\lambda \rightarrow n$  с регуляризованным оператором  $\sum_R^{\bar{n}\lambda}$  не должна иметь полюсов, отвечающих физическим состояниям  $n$  и  $\lambda$ .

Из первого требования вытекает, что для  $\sum^{\bar{n}\lambda}$  допустимы контрчлены вида

$$\bar{L}_c i \gamma_\mu \frac{\partial}{\partial x_\mu} L_p \quad \text{и эрмитово-сопряженный,}$$

$$\bar{L}_p \psi R_n, \bar{L}_p \psi R_\lambda, \bar{L}_c \psi R_n, \bar{L}_c \psi R_\lambda$$

и эрмитово-сопряженные,

$$\bar{R}_n i \gamma_\mu \frac{\partial}{\partial x_\mu} R_\lambda \quad \text{и эрмитово-сопряженный}$$

с некоторыми коэффициентами, которые определяются из второго требования. С учетом замечания о структуре контрчленов можно представить  $\sum_R^{\bar{n}\lambda}(p)$  в виде

$$C^{-1} \sum_R^{\bar{n}\lambda}(p) = \hat{p}(1+\gamma_5) f(p^2) + F_1 \hat{p}(1+\gamma_5) + F_2 \hat{p}(1-\gamma_5) + \phi_1(1+\gamma_5) + \phi_2(1-\gamma_5).$$

Требование отсутствия полюсов при  $\hat{p} = m_n$  и  $\hat{p} = m_\lambda$  у функции Грина

$$G^{\bar{n}\lambda} = \frac{1}{\hat{p} - m_n} \sum_R^{\bar{n}\lambda}(p) \frac{1}{\hat{p} - m_\lambda}$$

сводится к системе уравнений



стоит оператор, явно выписанный на соответствующей диаграмме. В качестве операторов будут фигурировать

$$1, \gamma_M, \hat{O}_L = \gamma_M \frac{1+\gamma_5}{2}, \hat{O}_R = \gamma_M \frac{1-\gamma_5}{2}. \quad (12)$$

Полная амплитуда  $\bar{N} \lambda \chi$  -перехода определяется следующим выражением:

$$\begin{aligned} \mathcal{A}_M(\bar{N} \lambda \chi) = & -\frac{2g g'}{3\sqrt{g^2+g'^2}} \left\{ 3 \mathcal{A}_M^{(2)}(A, K) + \right. \\ & \left. + 2 \left[ \mathcal{A}_M^{(3)}(A, K) + \mathcal{A}_M^{(4)}(A, K) \right] - \mathcal{A}_M^{(5)}(A, K) \right\}, \end{aligned} \quad (13)$$

где в соответствии с правилами Фейнмана и учетом внесоединных множителей

$$\begin{aligned} \mathcal{A}_M^{(2)}(A, K) = & \frac{-c(1-\gamma_5)}{i\pi^2} \int \frac{d^4 \ell}{[(\ell-p)^2 - m^2]^2} \cdot \left[ (2\ell-K)_\mu \delta_{\alpha\beta} - \right. \\ & \left. - (\ell+K)_\beta \delta_{\mu\alpha} - (\ell-2K)_\alpha \delta_{\mu\beta} \right] \frac{\delta_{\alpha\gamma} - c_\alpha c_\gamma / M^2}{\ell^2 - M^2} \cdot \frac{\delta_{\beta\nu} - (\ell-K)_\beta (\ell-K)_\nu / M^2}{(\ell-K)^2 - M^2}; \end{aligned} \quad (14)$$

$$\begin{aligned} \mathcal{A}_M^{(3)}(A, K) = & \frac{c(1-\gamma_5)}{i\pi^2} \int \frac{d^4 \ell}{[(\ell-p)^2 - M^2][\ell^2 - m^2][(\ell-K)^2 - m^2]} \cdot \\ & \cdot \left[ \frac{1}{(\ell-K)^2 - m^2} + \frac{1}{\ell^2 - m^2} \right]; \end{aligned} \quad (15)$$

$$\mathcal{A}_M^{(4)}(A, K) = \frac{c(1-\gamma_5)}{i\pi^2} \int \frac{d^4 \ell}{[(\ell-p)^2 - M^2][\ell^2 - m^2][(\ell-K)^2 - m^2]}; \quad (16)$$

$$\mathcal{A}_N^{(5)}(P, K) = \left\{ \chi_N \frac{1}{\beta_N - m_N} \sum_D \bar{\pi}^\lambda(P_\lambda) + \sum_D \bar{\pi}^\lambda(P_\lambda) \frac{1}{\beta_N - m_N} \chi_N \right\}. \quad (17)$$

В формуле (17) вместо оператора  $\sum \bar{\pi}^\lambda(P)$ , определенного формулой (9), стоит доопределенный оператор

$$\sum_D \bar{\pi}^\lambda(P) = \sum \bar{\pi}^\lambda(P) - c m_N f(m_N^2) \frac{1+\delta^5}{2} - c m_\lambda f(m_\lambda^2) \frac{1-\delta^5}{2}. \quad (18)$$

Обоснование замены  $\sum \bar{\pi}^\lambda$  на  $\sum_D \bar{\pi}^\lambda$  содержится в приложении 2. Здесь же кратко заметим, что формула (9), как уже отмечалось, дает собственно-энергетический оператор лишь с точностью до некоторых локальных слагаемых. Формула (18) как раз содержит необходимую добавку к голому оператору  $\sum \bar{\pi}^\lambda$ .

Чтобы проследить, как сокращаются расходимости, воспользуемся разложением  $\mathcal{A}_N^{(i)}$  по степеням импульса фотона  $K$ .

$$\begin{aligned} \mathcal{A}_N^{(i)}(P, K) = & \mathcal{A}_N^{(i)}(P, 0) + \frac{\partial \mathcal{A}_N^{(i)}(P, K)}{\partial K_\sigma} \Big|_{K=0} \cdot K_\sigma + \\ & + \frac{1}{2} \frac{\partial^2 \mathcal{A}_N^{(i)}(P, K)}{\partial K_\sigma \partial K_\tau} \Big|_{K=0} \cdot K_\sigma K_\tau + \dots \end{aligned} \quad (19)$$

Подсчет степеней импульса, по которому ведется интегрирование, приводит к заключению, что в амплитуде  $\mathcal{A}_N^{(2)}$  расходимости могут содержаться во всех трех первых членах разложения, а в амплитудах  $\mathcal{A}^{(3)}$ ,  $\mathcal{A}^{(4)}$  и  $\mathcal{A}^{(5)}$  только в первом члене разложения.

Используя те же приемы, какие применялись при вычисления  $\sum \bar{\pi}^\lambda(P)$ , найдем:

$$A_M^{(2)}(p,0) = \frac{c}{i\pi^2} (1-\gamma_5) \int_0^1 \int_0^1 d^4\ell \cdot \left\{ \frac{12x(1-x)\ell_\mu}{(Q^2-\Delta)^4} \cdot \left[ 2(\hat{\ell}-\hat{p}) + \frac{\hat{\ell}(\hat{\ell}-\hat{p})\hat{\ell}}{M^2} \right] - \frac{2x[\hat{\ell}(\hat{\ell}-\hat{p})\gamma_\mu + \gamma_\mu(\hat{\ell}-\hat{p})\hat{\ell}]}{M^2(Q^2-\Delta)^3} \right\},$$

где  $Q = \ell - px$  и  $\Delta = M^2(1-x) + m^2x - p^2x(1-x)$ .

Заменяя интегрирование по  $\ell$  на интегрирование по  $Q$  и используя формулы приложения I, получим

$$A_M^{(2)}(p,0) = -c\gamma_\mu(1+\gamma_5) \int_0^1 \left( \frac{2x(1-x)}{\Delta} + \frac{p^2x^3(1-x)}{M^2\Delta} + \frac{(x+3x^2)\Gamma(2-\frac{n}{2})}{M^2\Delta^{2-n/2}} \right) dx - c\hat{p}(1+\gamma_5)2p_\mu \int_0^1 \left( \frac{2x^2(1-x)^2}{\Delta^2} + \frac{x^2(1-x)(1+4x)}{M^2\Delta} + \frac{p^2x^4(1-x)^2}{M^2\Delta^2} \right) dx. \quad (20)$$

Сравнивая выражения (20) и (9-10), приходим к выводу, что

$$A_M^{(2)}(p,0) = - \frac{\partial \Sigma^{\bar{n}\lambda}(p)}{\partial p_\mu}. \quad (21)$$

Аналогичные вычисления для сумм  $A_M^{(3)}(p,0) + A_M^{(4)}(p,0)$  дают:

$$A_M^{(3)}(p,0) + A_M^{(4)}(p,0) = \frac{\partial \Sigma^{\bar{n}\lambda}(p)}{\partial p_\mu}. \quad (22)$$

Мы приходим к хорошо известному тождеству Уорда-Такахаси, согласно которому вершинная функция, определяемая согласно (13) как

$$\Gamma_M(p,k) = 3A_M^{(2)}(p,k) + 2[A_M^{(3)}(p,k) + A_M^{(4)}(p,k)], \quad (23)$$



при  $\kappa = 0$  выражается через производную от собственно-энергетического оператора  $\Sigma^{\bar{n}\lambda}$  :

$$\Gamma_M^{(1)}(P, 0) = - \frac{\partial \Sigma^{\bar{n}\lambda}(P)}{\partial P_M} \quad (24)$$

Поскольку тождество Урда-Такахаша справедливо как для "голых", так и для регуляризованных операторов, то

$$\Gamma_{MR}^{(1)}(P, 0) = - \frac{\partial \Sigma_R^{\bar{n}\lambda}(P)}{\partial P_M} \quad (25)$$

где  $\Sigma_R^{\bar{n}\lambda}(P)$  определяется формулой (II).

Формула (25) является рецептом регуляризации не зависящей от импульса фотона части вершинной функции  $\Gamma_M^{(1)}$ . Как обстоит дело с частью  $\Gamma_M^{(1)}$ , пропорциональной  $\kappa$ ? Вычисление, сделанное в предположении  $p^2, \kappa^2 \ll M^2$ , дает

$$\frac{\partial A_M^{(2)}(P, \kappa)}{\partial \kappa_\sigma} \Big|_{\kappa=0} \cdot \kappa_\sigma = \frac{2C}{M^4} (\hat{p} \kappa_\mu + P_\mu \hat{\kappa} + (P\kappa) \gamma_\mu +$$

$$- \frac{5}{4} i \epsilon_{\mu\nu\rho\tau} \kappa_\sigma P_\nu \gamma_\rho \gamma_5) (1 + \gamma_5) ; \quad (26)$$

$$\frac{1}{2} \frac{\partial^2 A_M^{(2)}(P, \kappa)}{\partial \kappa_\sigma \partial \kappa_\tau} \Big|_{\kappa=0} \cdot \kappa_\sigma \kappa_\tau = \frac{C}{M^4} \left( \frac{13}{4} \kappa^2 \gamma_\mu - \frac{5}{4} \hat{\kappa} \kappa_\mu + \right.$$

$$\left. + \frac{\kappa^2 \gamma_\mu - \kappa^2 \kappa_\mu}{4} \Gamma(0) \right) (1 + \gamma_5). \quad (27)$$

Формулы (26) и (27) показывают, что в случае реального фотона, для которого выполняются условия

$$k_\mu \epsilon_\mu^\lambda = 0, \quad k^2 = 0,$$

рецепт (25) является рецептом полной регуляризации вершинной функции  $\Gamma_N^{(r)}(p, k)$ , а следовательно, и всей амплитуды  $\bar{n} \lambda \gamma$  -перехода, поскольку подстановка  $\sum_R \bar{n}^\lambda$  в диаграммы рис.5 дает нуль.

В случае же виртуального фотона рецепт (25) является рецептом частичной регуляризации  $\Gamma_N^{(r)}(p, k)$ , а остаточная калибровочно-инвариантная часть, пропорциональная

$$\frac{k^2 \gamma_\mu - \hat{k} k_\mu}{4} \Gamma(0)$$

оказывается важной при регуляризации соответствующих амплитуд более высокого порядка. В следующих разделах мы увидим, как срабатывает эта дополнительная немассовая расходящаяся часть.

#### 4. Амплитуда $\bar{n} \lambda Z$ - перехода

Наличие в затравочной вершине  $\bar{q} q Z$  несохраняющих векторный ток слагаемых приводит к необходимости помимо уже рассмотренных амплитуд  $A_N^{(i)}$  ( $i = 2, 3, 4, 5$ ) вычислить амплитуду  $A_N^{(6)}$ , определяемую диаграммами рис.6.

Полная амплитуда  $\bar{n} \lambda Z$  -перехода определяется выражением:

$$\begin{aligned} A_N(\bar{n} \lambda Z) = & \frac{2g^2}{3\sqrt{g^2+g_1^2}} \left\{ 3 A_N^{(2)}(p, k) + \left(2 - \frac{g^2+g_1^2}{2g^2}\right) A_N^{(3)}(p, k) + \right. \\ & + \left(2 - \frac{4(g^2+g_1^2)}{2g^2}\right) A_N^{(4)}(p, k) - \left(1 + \frac{g^2+g_1^2}{2g^2}\right) A_N^{(5)}(p, k) + \\ & \left. + \frac{3(g^2+g_1^2)}{2g^2} A_N^{(6)}(p, k) \right\}, \end{aligned} \quad (28)$$

где

$$\begin{aligned} \mathcal{A}_n^{(6)}(p, k) = & \gamma_n \frac{1-\gamma_5}{2} \frac{1}{\hat{p}_\lambda - m_n} \sum_A^{\bar{n}\lambda} (p, \lambda) + \\ & + \sum_A^{\bar{n}\lambda} (p, n) \frac{1}{\hat{p}_n - m_\lambda} \gamma_n \frac{1-\gamma_5}{2}. \end{aligned} \quad (29)$$

Подставляя  $\sum_A^{\bar{n}\lambda}$ , определенное формулой (18), в это выражение, можно убедиться, что  $\mathcal{A}_n^{(6)}(p, k)$  не содержит расходящейся части.

Из сравнения полных амплитуд  $\mathcal{A}_n(\bar{n}\lambda\gamma)$  и  $\mathcal{A}_n(\bar{n}\lambda Z)$  (формулы (13) и (18)) находим

$$\begin{aligned} \mathcal{A}_n(\bar{n}\lambda Z) = & -\frac{g}{g'} \mathcal{A}_n(\bar{n}\lambda\gamma) - \frac{\sqrt{g^2 + g'^2}}{3} \left\{ \mathcal{A}_n^{(3)}(p, k) + \right. \\ & \left. + 4 \mathcal{A}_n^{(4)}(p, k) + \mathcal{A}_n^{(5)}(p, k) - 3 \mathcal{A}_n^{(6)}(p, k) \right\}. \end{aligned} \quad (30)$$

Рецепт регуляризации амплитуды  $\mathcal{A}_n(\bar{n}\lambda Z)$  теперь легко может быть сформулирован. Представляя вершинную функцию  $\Gamma_n^{(2)}$  и  $\mathcal{A}_n^{(3,4)}$  в виде

$$\begin{aligned} \Gamma_n^{(2)}(p, k) = & \Gamma_n^{(2)}(p, 0) + \kappa \sigma \Gamma_{n\sigma}(p, k) \\ \mathcal{A}_n^{(3,4)}(p, k) = & \mathcal{A}_n^{(3,4)}(p, 0) + \kappa \sigma \mathcal{A}_{n\sigma}^{(3,4)}(p, k), \end{aligned} \quad (31)$$

где  $\Gamma_{n\sigma}(p, k)$  и  $\mathcal{A}_{n\sigma}^{(3,4)}(p, k)$  являются конечными функциями  $p$  при  $k = 0$ , и учитывая, что при переходе к  $\sum_R^{\bar{n}\lambda}$  диаграммы, отвечающие перенормировке волновых функций свободных кварков, должны быть исключены из рассмотрения, найдем:

$$\begin{aligned}
 A_{NR}(\bar{n}\lambda Z) &= \frac{2g^2}{3\sqrt{g^2+g'^2}} \left[ \Gamma_{NR}^{(1)}(P,0) \left( 1 + \frac{g^2+g'^2}{2g^2} \right) + \right. \\
 &+ \kappa_\sigma \Gamma_{N\sigma}(P,K) \left. \right] - \sqrt{g^2+g'^2} \left[ A_{N\sigma}^{(14)}(P,K) - A_{NR}^{(16)}(P,K) \right] - \\
 &- \frac{\sqrt{g^2+g'^2}}{3} \kappa_\sigma \left[ A_{N\sigma}^{(13)}(P,K) + A_{N\sigma}^{(14)}(P,K) \right], \quad (32)
 \end{aligned}$$

где  $A_{NR}^{(16)}$  получается из  $A_N^{(14)}$  заменой в формуле (29)  $\Sigma_D$  на  $\Sigma_D - \Sigma_R$  :

$$\begin{aligned}
 \Sigma_D - \Sigma_R &= \left[ (\hat{p}-m_n) \frac{1+\gamma_5}{2} + \frac{1-\gamma_5}{2} (\hat{p}-m_\lambda) \right] \frac{m_n^2 f(m_n^2) - m_\lambda^2 f(m_\lambda^2)}{m_n^2 - m_\lambda^2} + \\
 &+ \left[ (\hat{p}-m_n) \frac{1-\gamma_5}{2} + \frac{1+\gamma_5}{2} (\hat{p}-m_\lambda) \right] m_n m_\lambda \frac{f(m_n^2) - f(m_\lambda^2)}{m_n^2 - m_\lambda^2}. \quad (33)
 \end{aligned}$$

Как и в случае амплитуды  $\bar{n}\lambda\gamma$  -перехода, рецепт (32) является рецептом полной регуляризации амплитуды  $\bar{n}\lambda Z$  -перехода, если  $Z$  -бозон находится на массовой поверхности, и рецептом частичной регуляризации, если  $Z$  -бозон виртуален. В самом деле, расходимости содержатся только в  $\Gamma_{N\sigma}(P,K)$  и в не зависящей от внешних импульсов части амплитуды  $A_N^{(14)}$  :

$$\left[ \kappa_\sigma \Gamma_{N\sigma}(P,K) \right]_{\text{расх}} = \frac{3c}{4M^4} (k^2 \gamma_\mu - \hat{k} \kappa_\mu) (1+\gamma_5) \Gamma(0) \quad (34)$$

$$\begin{aligned}
\mathcal{A}_\mu^{(4)}(p, 0) &= \frac{c}{i\pi^2} (1-\gamma_5) \int d^4 p \frac{\gamma_\alpha \gamma_\mu \gamma_\beta (\delta_{\alpha\beta} - \frac{(l-p)_\alpha (l-p)_\beta}{M^2})}{(l^2 - m^2)^2 (l^2 - 2pl + p^2 - M^2)} = \\
&= \frac{c}{i\pi^2} (1-\gamma_5) \gamma_\alpha \gamma_\mu \gamma_\beta \int_0^1 (1-x) dx \int d^4 Q \frac{(\delta_{\alpha\beta} - \frac{Q^2 \delta_{\alpha\beta}}{4M^2} - \frac{p_\alpha p_\beta (1-x)^2}{M^2})}{[Q^2 - i^2 x - m^2(1-x) - p^2 x(1-x)]^3} = \\
&= c(1-\gamma_5) \int_0^1 (1-x) dx \left\{ \frac{2\gamma_\mu + p_\mu \gamma_5 \hat{p}(1-x)^2 / M^2}{M^2 x + m^2(1-x) - p^2 x(1-x)} + \right. \\
&\quad \left. + \frac{\gamma_\mu \Gamma(2 - \frac{n}{2})}{M^2} [M^2 x + m^2(1-x) - p^2 x(1-x)]^{-2 + \frac{n}{2}} \right\}; \\
\mathcal{A}_\mu^{(4)}(0, 0) &= c\gamma_\mu (1+\gamma_5) \left\{ 2 \int_0^1 \frac{dx}{M^2 x + m^2(1-x)} - 2 \int_0^1 \frac{x dx}{M^2 x + m^2(1-x)} \right. \\
&\quad \left. + \int \frac{dx(1-x)\Gamma(0)}{M^2} \right\} = \frac{c\gamma_\mu (1+\gamma_5)}{M^2} \left[ 2 \ln \frac{M^2}{m^2} - 2 + \frac{\Gamma(0)}{2} \right]. \tag{35}
\end{aligned}$$

Если  $Z$ -бозон находится на массовой поверхности, то

$$k_\mu e_\mu^\lambda = 0, \quad k^2 = M_2^2 = \frac{g^2 + g'^2}{g^2} M^2.$$

При этом

$$\begin{aligned}
&\frac{2g^2}{3\sqrt{g^2 + g'^2}} [k_\sigma \Gamma_{\sigma\mu}(p, k)]_{расх} - \sqrt{g^2 + g'^2} [\mathcal{A}_\mu^{(4)}(0, 0)]_{расх} = \\
&= \frac{cg^2}{\sqrt{g^2 + g'^2}} \left[ \frac{2(g^2 + g'^2)}{4g^2 M^2} - \frac{g^2 + g'^2}{2g^2 M^2} \right] \Gamma(0) \gamma_\mu (1+\gamma_5) = 0. \tag{36}
\end{aligned}$$

Таким образом, для амплитуды с реальным фотоном регуляризация, согласно (32), является полной. В случае виртуального  $Z$ -бозона в этой амплитуде, согласно (32) и (35), остаются расходимости, которые важны для перенормируемости амплитуд высших порядков.

## 5. Вершинный оператор $\bar{n}\lambda\sigma$

Ситуация с регуляризацией  $\bar{n}\lambda\sigma$ -вершины несколько отличается от имевшей место для  $\bar{n}\lambda\gamma$  и  $\bar{n}\lambda Z$ -вершин. В случае, когда фотон или  $Z$ -бозон находились на массовой поверхности, расходимости вершинной функции компенсировались расходимостями от перенормировки волновых функций  $n$ - и  $\lambda$ -полей. Как известно, для скалярных вершин такое сокращение отсутствует, и в рассматриваемой теории это также имеет место. Вершинная функция  $\bar{n}\lambda\sigma$  описывается двумя диаграммами рис. 7 и 8.

$$\begin{aligned}
 \mathcal{A}^{(7)}(p, k) &= 2g^2 M (m_p^2 - m_c^2) \sin\theta \cos\theta (1 - \gamma_5) \cdot \\
 &\cdot \int \frac{\gamma_\beta (\hat{p} - \hat{e}) \gamma_\alpha d^4 e}{(e^2 - M^2) [(e-k)^2 - M^2] [(p-e)^2 - m^2]^2} \cdot (\delta_{\alpha\gamma} - \frac{e_\alpha e_\gamma}{M^2}) \cdot \\
 &\cdot (\delta_{\beta\eta} - (e-k)_\beta (e-k)_\eta / M^2) ; \quad (87)
 \end{aligned}$$

$$\begin{aligned}
 \mathcal{A}^{(8)}(p, k) &= \frac{g^3}{M} (m_p^2 - m_c^2) \sin\theta \cos\theta (1 - \gamma_5) \cdot \\
 &\cdot \int \frac{\gamma_\alpha (2\hat{p} - \hat{k} - 2\hat{e}) \gamma_\beta (\delta_{\alpha\beta} - e_\alpha e_\beta / M^2)}{(e^2 - M^2) [(p-e)^2 - m^2] [(p-e-k)^2 - m^2]} \cdot \quad (88)
 \end{aligned}$$

Расходящиеся части  $\mathcal{A}^{(7)}$  и  $\mathcal{A}^{(8)}$  легко вычисляются и результат есть

$$\begin{aligned}
 [\mathcal{A}^{(7)}(p, k)]_{\text{расх}} &= \frac{g^3 (m_p^2 - m_c^2) \sin\theta \cos\theta}{M^3} (-3\hat{p} + \frac{3\hat{k}}{2}) (1 + \gamma_5) \Gamma(0), \\
 [\mathcal{A}^{(8)}(p, k)]_{\text{расх}} &= \frac{g^3 (m_p^2 - m_c^2) \sin\theta \cos\theta}{M^3} (3\hat{p} - \frac{3\hat{k}}{2}) (1 + \gamma_5) \Gamma(0).
 \end{aligned}$$

Поэтому вершинная функция  $\bar{\pi} \lambda \sigma$ , определяемая суммой  $\mathcal{A}^{(1)} + \mathcal{A}^{(2)}$ , сама по себе расходимостей не содержит. Но зато перенормировка волновых функций, определяемая диаграммами рис.9, дает

$$[\mathcal{A}^{(2)}(P, K)]_{\text{расх}} = \frac{g^3 (m_p^2 - m_c^2) \sin \theta \cos \theta}{M^3} [m_\lambda (1 - \gamma_5) + m_\eta (1 + \gamma_5)] \frac{3 \Gamma(0)}{4}.$$

Эта расходящаяся часть может быть убрана введением в лагранжиан контрчленов с коэффициентами противоположного знака. Поэтому рецепт устранения расходимостей из амплитуды  $\bar{\pi} \lambda \sigma$  -перехода заключается в том, чтобы работать сразу в терминах  $\sum_R \bar{\pi} \lambda$ , а вершинную часть вычислять как сумму  $\mathcal{A}^{(1)} + \mathcal{A}^{(2)}$ .

Рассмотренные амплитуды исчерпывают полный набор недиагональных фермионных амплитуд в рассматриваемой модели теории. Найденные выше приемы регуляризации могут быть легко перенесены на другие схемы калибровочной теории. Что касается регуляризации недиагональных бозонных амплитуд, рецепт перенормировки для них читатели могут найти в работе Брауна и Изергина [5].

Заканчивая описание регуляризационной процедуры, проверим на двух примерах, для которых имеются результаты, полученные в неунитарных калибровках, корректность сформулированной выше программы перенормировки.

## 6. Пример I: процесс $\bar{\pi} \lambda \rightarrow e^+ e^-$

Рассмотрим случай перехода системы кварков  $\bar{\pi} \lambda$  в  ${}^1S_0$ -состояние пары  $\bar{e} e$ . Для такой амплитуды имеется готовый результат, полученный в произвольной  $R_\xi$  калибровке [6,7].

$$A(\bar{n}\lambda \rightarrow \bar{e}e) = \frac{-iG^2 m_c^2 \cos\theta \sin\theta}{4\pi^2} \bar{n} \gamma_\mu (1+\gamma_5) \lambda \cdot \bar{e} \gamma_\mu \gamma_5 e. \quad (39)$$

В унитарной калибровке в терминах перенормированных недиагональных операторов интересующая нас амплитуда описывается двумя диаграммами рис. I0 и II. Вычислим не зависящую от внешних импульсов часть амплитуды в старшем порядке по параметру  $1/M^2$ :

$$A^{(10)} = i\bar{n} \left[ A_{HR}(\bar{n}\lambda Z) \right]_{k=0} \lambda \cdot \frac{\delta_{\mu\nu}}{-M^2} \cdot \frac{\sqrt{g^2 + g'^2}}{2} \bar{e} \gamma_\mu \gamma_5 e \quad (40)$$

$$A^{(11)} = \bar{n} \gamma_\alpha \gamma_5 \gamma_\beta (1+\gamma_5) \lambda \cdot \bar{e} \gamma_\nu \gamma_5 \gamma_\gamma (1+\gamma_5) e \cdot g^4 (m_p^2 - m_c^2) \sin\theta \cos\theta \cdot \int \frac{d^4 \ell}{(2\pi)^4} \cdot \frac{\ell_\alpha \ell_\epsilon (\delta_{\beta\gamma} - \ell_\alpha \ell_\gamma / M^2) (\delta_{\nu\epsilon} - \ell_\nu \ell_\epsilon / M^2)}{\ell^2 (\ell^2 - M^2)^2 (\ell^2 - m^2)^2}, \quad (41)$$

где  $A_{HR}(\bar{n}\lambda Z)$  представлена формулой (32).

Поскольку амплитуды  $A_{HR}(P,0)$ ,  $A_{HR}^{(6)}$  и  $A_{H\sigma}^{(3,4)}$  пропорциональны внешним импульсам, они содержат дополнительную малость  $m^2/M^2$  или  $P^2/M^2$  по сравнению с главным слагаемым в амплитуде  $A_H^{(4)}$ , определяемым формулой (35).

Поэтому главный член в  $A^{(10)}$  имеет вид

$$A^{(10)} \cong \frac{c(g^2 + g'^2)}{2M^2 M_Z^2} \left( 2 \ln \frac{M^2}{m^2} - 2 + \frac{\Gamma(0)}{2} \right) \cdot \bar{n} \gamma_\mu (1+\gamma_5) \lambda \cdot \bar{e} \gamma_\mu \gamma_5 e. \quad (42)$$



Вычислим амплитуду  $A^{(11)}$ .

$$A^{(11)} = g^4 (m_p^2 - m_c^2) \sin \theta \cos \theta I(M^2, m^2) \cdot \bar{\pi} \gamma_\mu (1 + \gamma_5) \lambda \cdot \bar{e} \gamma_\mu \gamma_5 e, \quad (43)$$

где

$$I(M^2, m^2) = \int \frac{d^4 \ell}{(2\pi)^4} \frac{(1 - \frac{2\ell^2}{M^2} + \frac{\ell^4}{M^4})}{(\ell^2 - M^2)^2 (\ell^2 - m^2)^2} \approx \frac{i}{16\pi^2 M^4} \left( \ln \frac{M^2}{m^2} + 1 + \frac{\gamma(0)}{4} \right).$$

Учитывая, что

$$r = \frac{-ig^2 \sin \theta \cos \theta (m_p^2 - m_c^2)}{16\pi^2}, \quad M_Z^2 = \frac{g^2 + g_1^2}{g^2} M^2,$$

получим:

$$A(\bar{\pi} \lambda \rightarrow \bar{e} e) = A^{(10)} + A^{(11)} = \frac{ig^4 \sin \theta \cos \theta (m_p^2 - m_c^2)}{8\pi^2 M^4} \bar{\pi} \gamma_\mu (1 + \gamma_5) \lambda \cdot \bar{e} \gamma_\mu \gamma_5 e. \quad (44)$$

Так как  $g^4/2M^4 = G^2$ , мы получили результат (39), который, насколько известно автору, и был получен Вайнштейном и Хрипловичем [6] в процессе их работы сначала в унитарной калибровке, а затем проверен в  $R_\xi$ -калибровке.

## 7. Пример 2: распад $M \rightarrow e \gamma$

Предположим, что мюнное и электронное нейтрино являются суперпозициями двух других нейтрино  $\nu_1$  и  $\nu_2$  с различными массами  $m_1 \neq m_2$ .

$$\nu_e = \nu_1 \cos \beta + \nu_2 \sin \beta,$$

$$\nu_\mu = -\nu_1 \sin \beta + \nu_2 \cos \beta.$$

Тогда амплитуда распада  $M \rightarrow e \gamma$  в унитарной калибровке в терминах перенормированных операторов определяется одной

диаграммой рис. I2. В соответствии с формулой (I9) и формулой (25) получим

$$A^{(12)} = \frac{-2gg'}{\sqrt{g^2+g'^2}} \bar{U}_e \left\{ -\frac{\partial \Sigma_R^{\epsilon_N}(P)}{\partial P_N} + \frac{\partial A_N^{(12)}}{\partial K_\sigma} \Big|_{K=0} \cdot K_\sigma + \frac{1}{2} \frac{\partial^2 A_N^{(12)}}{\partial K_\sigma \partial K_\xi} \Big|_{K=0} \cdot K_\sigma K_\xi + \dots \right\} U_M \frac{e_N^\lambda}{\sqrt{2E_N}} \quad (45)$$

где отдельные слагаемые в фигурной скобке определяются формулами (II), (26) и (27).

Разложение входящей в  $\Sigma_R^{\epsilon_N}$  функции  $f(P^2)$  по степеням  $\frac{P^2}{M^2}$  имеет вид:

$$f(P^2) = \frac{1}{M^2} \left( 1 + \frac{3f(0)}{2} \right) + \frac{2P^2}{M^4} + O\left(\frac{P^4}{M^6}\right). \quad (46)$$

Поэтому, оставляя только главные члены, пропорциональные  $1/M^4$ , получим:

$$-\frac{\partial \Sigma_R^{\epsilon_N}}{\partial P_N} = -\frac{2C'}{M^4} \left\{ (P^2 m_e^2 - m_M^2) \gamma_M (1 + \gamma_5) - m_e m_M \gamma_M (1 - \gamma_5) + 2P_N \hat{P} (1 + \gamma_5) \right\}. \quad (47)$$

Суммируя выражения (47), (26) и (27), учитывая, что для реального фотона

$$K_N e_N^\lambda = 0, \quad K^2 = 0$$

и используя соотношения

$$-i \epsilon_{\mu\nu\sigma\tau} K_\mu P_\sigma \gamma_\tau \gamma_5 = \frac{K_\alpha}{2} [\hat{P} \sigma_{\alpha\mu} + \sigma_{\alpha\mu} \hat{P}]$$

$$\gamma_M \hat{K} = K_\mu + \sigma_{\mu\nu} K_\nu, \quad \hat{K} \gamma_M = K_\mu - \sigma_{\mu\nu} K_\nu,$$

найдем

$$A^{(12)} = \frac{eC'}{M^4} \bar{U}_e \left( -\frac{1}{4} \sigma_{\mu\alpha} K_\alpha \right) (m_e (1 + \gamma_5) + m_M (1 - \gamma_5)) U_M \frac{e_N^\lambda}{\sqrt{2E_N}}. \quad (48)$$

Если учесть, что

$$C' = \frac{-ig^2 \sin \beta \cos \beta (m_1^2 - m_2^2)}{16 \pi^2}$$

наш ответ совпадает с полученным в фейнмановской калибровке [8,9] :

$$\mathcal{A}(\mu \rightarrow e \gamma) = \frac{ieG}{8\sqrt{2}\pi^2} \sin \beta \cos \beta \left( \frac{m_1^2 - m_2^2}{M^2} \right) \cdot \bar{U}_e \frac{g_{\mu\alpha} k_\alpha}{4} [m_e(1+\gamma_5) + m_\mu(1-\gamma_5)] U_\mu \frac{e^\lambda}{\sqrt{2E_k}}$$

Рассмотренные примеры подтверждают корректность сформулированных выше правил работы в унитарной калибровке.

## Приложение I

### Замечания о методе размерной регуляризации.

В данном разделе для полноты изложения приводятся формулы для вычисления фейнмановских интегралов с помощью метода размерной регуляризации, развитого т'Хуфтом и Вельтманом [10]. Во всех известных случаях этот метод позволяет работать с расходящимися в ультрафиолетовой области выражениями без потери калибровочной инвариантности, что особенно важно при вычислениях в унитарной калибровке. Этот метод, однако, имеет свои особенности, которые будут отмечены ниже.

Размерная регуляризация основывается на следующих формулах, вывод которых читатели могут найти в работе [10].

В пространстве  $n$  измерений интеграл вида

$$\int d_n x f(z),$$

где  $d_n x = dx_1 \cdots dx_n$  и  $z = \sqrt{x_1^2 + \cdots + x_n^2}$ ,

может быть вычислен с помощью формул

$$\int d_n x f(z) = \frac{2\pi^{n/2}}{\Gamma(n/2)} \int f(z) z^{n-1} dz, \quad (\text{П1})$$

$$\int_0^\infty \frac{z^\beta dz}{(z^2 + \Delta)^\alpha} = \frac{1}{2} \frac{\Gamma(\frac{\beta+1}{2}) \Gamma(\alpha - \frac{\beta+1}{2})}{\Gamma(\alpha) \Delta^{\alpha - (\beta+1)/2}}. \quad (\text{П2})$$

Чтобы воспользоваться этими формулами, необходимо с помощью виковского поворота перевести фейнмановские интегралы в интегралы по евклидову пространству. Например,

$$\begin{aligned} \int \frac{d\rho_1 \cdots d\rho_{n-1} d\rho_0}{(\rho_0^2 - \rho_1^2 - \cdots - \rho_{n-1}^2 - \Delta)^\alpha} &= i \int \frac{d_n \rho}{(-\rho_1^2 - \rho_2^2 - \cdots - \rho_n^2 - \Delta)^\alpha} = \\ &= i \pi^{n/2} \int \frac{z^{n-1} dz}{(-1)^\alpha (z^2 + \Delta)^\alpha}. \end{aligned} \quad (\text{П3})$$

Используя эти формулы, получим

$$I_1 = \int \frac{d_n p}{(p^2 - \Delta)^2} = i\pi^{n/2} \frac{\Gamma(2 - \frac{n}{2})}{\Delta^{2 - n/2}} \quad (\text{П4})$$

$$I_1' = \int \frac{d_n p \cdot p^2}{(p^2 - \Delta)^3} = i\pi^{n/2} \frac{\Gamma(2 - \frac{n}{2})}{\Delta^{2 - n/2}} \quad (\text{П5})$$

$$I_1'' = \int \frac{d_n p \cdot p^4}{(p^2 - \Delta)^4} = i\pi^{n/2} \frac{\Gamma(2 - \frac{n}{2})}{\Delta^{2 - n/2}} \quad \text{и т.д.} \quad (\text{П6})$$

Формулы (П4-П6) указывают на одну важную особенность метода размерной регуляризации - именно, на необходимость отбрасывания конечных добавок при выделении расходящегося члена. В самом деле, если бы интеграл (П5) мы записали в виде

$$I_1' = \int \frac{(p^2 - \Delta + \Delta) d_n p}{(p^2 - \Delta)^3} = I_1 + \Delta \int \frac{d_n p}{(p^2 - \Delta)^3},$$

то немедленно обнаружили бы, что  $I_1' \neq I_1$ , в противоречие с формулами (П4-П6). Противоречия, однако, нет. Дело в том, что при  $n = 4$  каждый из интегралов (П4-П6) сам определен только с точностью до произвольной конечной добавки. Действительно,

$$\lim_{n \rightarrow 4} \left( \frac{\Gamma(2 - \frac{n}{2})}{\Delta^{2 - n/2}} \right) = \Gamma(0).$$

С другой стороны, представляя  $\Delta$  в виде  $(\Delta + \delta) - \delta$  и разлагая в ряд по  $\delta/(\Delta + \delta)$ , получим

$$\lim_{n \rightarrow 4} \left[ \frac{\Gamma(2 - \frac{n}{2})}{(\Delta + \delta)^{2-n/2} (1 - \frac{\delta}{\Delta + \delta})^{2-n/2}} \right] = \lim_{n \rightarrow 4} \left( \frac{\Gamma(2 - \frac{n}{2})}{(\Delta + \delta)^{2 - \frac{n}{2}}} \right) +$$

$$+ \lim_{n \rightarrow 4} \left[ \frac{\delta}{\Delta + \delta} \Gamma(2 - \frac{n}{2}) \right] + \dots = \Gamma(0) + \frac{\delta}{\Delta + \delta} + \dots, \quad (\text{П7})$$

поскольку для  $\Gamma$ -функции имеет место соотношение

$$x \Gamma(x) = \Gamma(x+1)$$

и для положительных целочисленных аргументов

$$\Gamma(n) = (n-1)!$$

Поэтому метод размерной регуляризации помимо математической конструкции содержит предписание, согласно которому при вычислении расходящихся интегралов нельзя изменять числитель, добавляя и вычитая одинаковые слагаемые более низкой степени по импульсу.

В случае, если подынтегральное выражение содержит внешние импульсы, оно должно быть приведено путем сдвигки переменной интегрирования к виду (П2). Так, например,

$$\int \frac{d_n p \cdot f(p, k)}{(p^2 - 2pk + k^2 - m^2)(p^2 - m^2)} = \int_0^1 dx \int \frac{d_n p \cdot f(p, k)}{[p^2 - 2pkx + k^2x - m^2; x - m^2(1-x)]^2}$$

$$\Rightarrow \int_0^1 dx \int \frac{d_n Q \cdot f(Q + kx, k)}{(Q^2 - \Delta)^2}, \quad Q = p - kx.$$

Дальнейшее интегрирование производится по формулам (П1 - П3), с учетом того, что интегралы, содержащие в числителе импульс  $Q$  в нечетной степени, равны нулю, а превращение четного числа компонент импульса  $Q$  должно быть заменено на следующие комбинации

$$Q_\alpha Q_\beta \Rightarrow \frac{1}{4} Q^2 \delta_{\alpha\beta}$$

$$Q_\alpha Q_\beta Q_\sigma Q_\tau \Rightarrow \frac{1}{24} Q^4 (\delta_{\alpha\beta} \delta_{\sigma\tau} + \delta_{\alpha\sigma} \delta_{\beta\tau} + \delta_{\alpha\tau} \delta_{\beta\sigma})$$

и т.д.

Выпишем несколько полезных формул

$$I_2 = \int \frac{d_n P}{P^2(P^2 - \Delta)} = i\pi^{n/2} \frac{\Gamma(2 - \frac{n}{2})}{\Delta^{2 - n/2}} ;$$

$$I_3 = \int \frac{d_n P}{(P^2 - \Delta)^\alpha} = i\pi^{n/2} (-1)^\alpha \frac{\Gamma(\alpha - \frac{n}{2})}{\Gamma(\alpha) \Delta^{\alpha - n/2}} ;$$

$$I_4 = \int \frac{P^{2m} d_n P}{(P^2 - \Delta)^\alpha} = i\pi^{n/2} (-1)^{\alpha - m} \frac{\Gamma(m + \frac{n}{2}) \Gamma(\alpha - m - \frac{n}{2})}{\Gamma(\frac{n}{2}) \Gamma(\alpha) \Delta^{\alpha - m - n/2}} ;$$

## Приложение 2

Доопределение собственно-энергетического оператора недиагонального перехода

Доопределение  $\sum_{\bar{n}\lambda}$  осуществляется на основе известного требования, согласно которому в изотопическом пространстве состояний  $n$  и  $\lambda$  должно существовать преобразование к новому базису состояний, убирающее недиагональные члены из лагранжиана свободных полей [12].

Пусть исходный базис представлен дублетом

$$\psi_0 = \begin{pmatrix} \lambda \\ n \end{pmatrix}.$$

В отсутствие взаимодействий

$$L_0 = (\bar{\lambda}, \bar{n}) \hat{P} \begin{pmatrix} 1, 0 \\ 0, 1 \end{pmatrix} \begin{pmatrix} \lambda \\ n \end{pmatrix} - (\bar{\lambda}, \bar{n}) \begin{pmatrix} m_\lambda, 0 \\ 0, m_n \end{pmatrix} \begin{pmatrix} \lambda \\ n \end{pmatrix}.$$

При наличии слабого взаимодействия

$$L = (\bar{\lambda}, \bar{n}) \hat{P} \begin{pmatrix} 1, \alpha(1+\gamma_5) \\ \alpha(1+\gamma_5), 1 \end{pmatrix} \begin{pmatrix} \lambda \\ n \end{pmatrix} - (\bar{\lambda}, \bar{n}) \begin{pmatrix} m_\lambda, X \\ Y, m_n \end{pmatrix} \begin{pmatrix} \lambda \\ n \end{pmatrix},$$

(П8)

где  $\alpha$  дается формулой (9) ( $\alpha = cf(p^2)$ ), а  $X$  и  $Y$  должны быть найдены, исходя из сформулированного выше рецепта. Для упрощения дальнейших выкладок будем считать  $\alpha$  бесконечно малой величиной. Построим вспомогательный оператор

$$\alpha = \frac{c}{2} (1+\gamma_5) [f(m_\lambda^2) \tau_+ + f(m_n^2) \tau_-], \quad (\text{П9})$$

где

$$\tau_+ = \begin{pmatrix} 0, 1 \\ 0, 0 \end{pmatrix}, \quad \tau_- = \begin{pmatrix} 0, 0 \\ 1, 0 \end{pmatrix}$$



Выбор аргументов у функции  $f$  при  $\tau_+$  и  $\tau_-$  определяется тем, что для состояния  $(\lambda + \alpha n)$   $p^2 \approx m_\lambda^2$ , а для состояния  $(n + \alpha \lambda)$   $p^2 \approx m_n^2$ .

Лагранжиан (П9) может быть представлен в виде

$$\begin{aligned} \mathcal{L} = & (\bar{\lambda}, \bar{n}) \beta (1+a^*) \beta \hat{P} \begin{pmatrix} 1 & 0 \\ 0 & 1 \end{pmatrix} (1+a) \begin{pmatrix} \lambda \\ n \end{pmatrix} - \\ & - (\bar{\lambda}, \bar{n}) \beta (1+a^*) (1-a^*) \beta \begin{pmatrix} m_\lambda, X \\ Y, m_n \end{pmatrix} (1-a) (1+a) \begin{pmatrix} \lambda \\ n \end{pmatrix}. \end{aligned}$$

(П10)

Требуя, чтобы в терминах нового базиса состояний

$$\Psi = (1+a) \Psi_0$$

в лагранжиане отсутствовали недиагональные члены, получим уравнение для массовых членов  $X$  и  $Y$ , доопределяющих собственно-энергетический оператор (9):

$$\beta (1-a^*) \beta \begin{pmatrix} m_\lambda, X \\ Y, m_n \end{pmatrix} (1-a) = \begin{pmatrix} \tilde{m}_\lambda, 0 \\ 0, \tilde{m}_n \end{pmatrix}. \quad (\text{П11})$$

Решая это уравнение, находим

$$\begin{aligned} X &= c m_\lambda f(m_\lambda^2) \frac{1+\gamma_5}{2} + c m_n f(m_n^2) \frac{1-\gamma_5}{2} \\ Y &= \beta X \beta \end{aligned} \quad (\text{П12})$$

Следовательно, доопределенный оператор  $\Sigma_A^{n\lambda}$  имеет вид

$$\begin{aligned} \Sigma_A^{n\lambda} = c \left[ \hat{P} f(p^2) (1+\gamma_5) - m_n f(m_n^2) \frac{1+\gamma_5}{2} \right. \\ \left. - m_\lambda f(m_\lambda^2) \frac{1-\gamma_5}{2} \right]. \end{aligned} \quad (\text{П13})$$

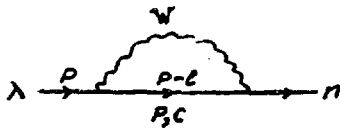


Рис. 1

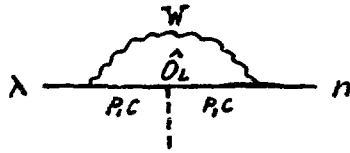


Рис. 3

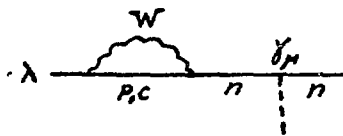


Рис. 5

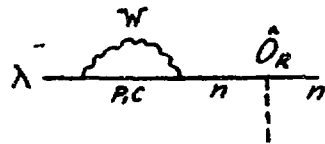


Рис. 6

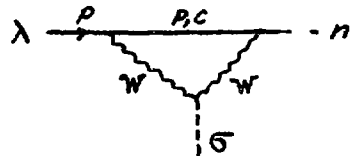


Рис. 7

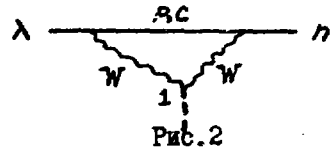


Рис. 2

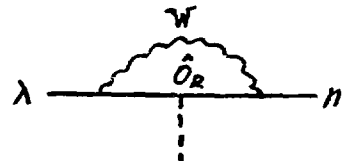


Рис. 4

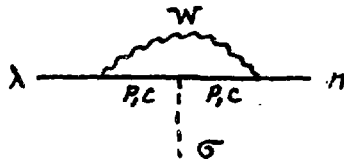
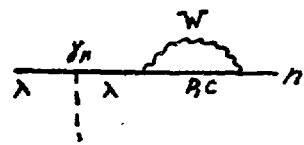


Рис. 8

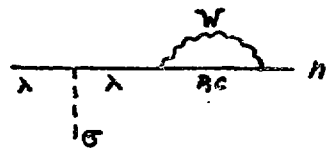
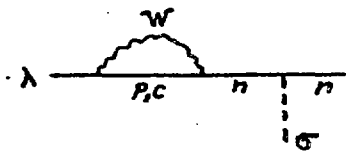


Рис. 9

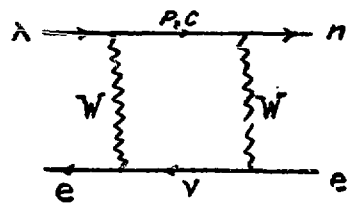
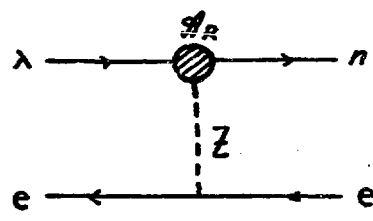


Рис. 10

Рис. 11

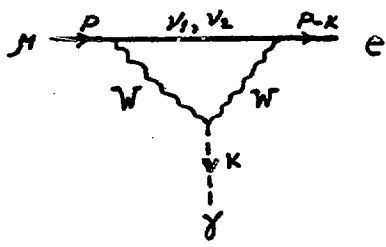


Рис. 12

## ЛИТЕРАТУРА

- I. Шабалин Е.П. М., Препринт ИТЭФ, 1978, № 31.
2. Weinberg S. Phys.Rev.Lett., 19, 1264, 1967.
3. Salam A. Proc.of the 6<sup>th</sup> Nobel Symposium, Almqvist and Wicksel, Stockholm, 1968.
4. Glasgow S.L., Iliopoulos J., Maiani L. Phys.Rev., D2, 1285, 1970.
5. Браун М.А., Изергин А.Г. ЯФ, 10, 873, 1969.
6. Вайнштейн А.И., Хриплович И.Б. Письма в ЖЭТФ, 18, 141, 1973.
7. Фламбаум В.В. ЯФ, 22, 661, 1975.
8. Петков С.Т. ЯФ, 25, 641, 1977.
9. Шабалин Е.П. М., Препринт ИТЭФ, 1977, № 9.
10. Hoof t G.'t., Veltman M. Preprint CERN - 73-9, 1973.
- II. Feynman R.P. Phys.Rev., 76, 1949.
12. Cabibbo N., Gatto C. Nuovo Cim., 16, 168, 1960.

Работа поступила в ОНТИ 4/У-1978г.

---

Подписано к печати 12/У-78г. Т-09907. Формат 70х108 1/16.

Печ. л. 2,25. Тираж 290 экз. Заказ 71. Цена 12 коп. Индекс 3624.

---

Отдел научно-технической информации ИТЭФ, И17259, Москва

12 коп.

ИНДЕКС 3624